

[5] Brako R., Newns D. M. // Surf. Sci. 1981. Vol. 108. N 3. P. 253.

[6] Кургузов А. А., Семенов О. И. // Поверхность. Физика, химия, механика. 1989. № 3. С. 39—43.

Петрозаводский государственный
университет им. О. В. Куусинена

Поступило в Редакцию
7 декабря 1989 г.
В окончательной редакции
15 мая 1990 г.

07; 12

Журнал технической физики, т. 60, в. 10, 1990

© 1990 г.

ИЗМЕРЕНИЕ ЧАСТОТЫ И АМПЛИТУДЫ ВИБРАЦИЙ ТЕЛА МЕТОДОМ ДИНАМИЧЕСКОЙ СПЕКЛ-ИНТЕРФЕРОМЕТРИИ

Л. М. Веселов, И. А. Попов

В настоящей работе исследуются статистические характеристики когерентного излучения, рассеянного на шероховатой поверхности, применительно к задаче неконтактного определения частоты и амплитуды вибраций тела. Ранее статистика рассеянного когерентного излучения при движении рассеивающей поверхности исследовалась лишь при прямолинейном перемещении или вращении (см., например, [1, 2]); случай колебательного движения или движения с переменной скоростью, насколько нам известно, не анализировался.

Рассмотрим плоскую шероховатую поверхность, колеблющуюся в своей плоскости по закону $h = h_0 \sin \omega t$, где h_0 — амплитуда смещения, ω — частота колебания. Условия освещения и наблюдения таковы, что угол падения на поверхность когерентного гауссова пучка и угол наблюдения близки к нормальному. Предполагая, что выполнены условия формирования нормально развитой спектральной картины [3], и используя подход, изложенный в работе [2], для временной корреляционной функции флуктуаций интенсивности рассеянного излучения во френелевской зоне несложно получить

$$C_I(t_1, t_2) = k \exp [-\alpha (\sin \omega t_1 - \sin \omega t_2)^2], \quad (1)$$

где

$$\alpha = \frac{h_0^2}{w^2} \left[1 + \frac{4\pi^2 w^4}{\lambda^2} \left(\frac{1}{\rho} + \frac{1}{l} \right)^2 \right], \quad (2)$$

w — радиус гауссова пучка на рассеивающей поверхности по уровню поля e^{-1} , λ — длина волн, ρ — радиус кривизны волнового фронта, l — расстояние от поверхности до точки наблюдения, k — постоянная.

Корреляционная функция (1) зависит от двух переменных (t_1, t_2) , причем эта зависимость не сводится к зависимости от их разности, что связано с очевидной нестационарностью процесса рассеяния при колебательном движении шероховатой поверхности (рис. 1). По каждой переменной (t_1, t_2) корреляционная функция имеет периодический вид, обусловленный периодичностью движения рассеивающей поверхности: в каждый период колебания пучком света освещаются одни и те же участки рассеивателя.

Отметим, что экспериментальное определение двумерной корреляционной функции (1) — довольно трудоемкая задача, поэтому более предпочтительным является измерение спектральной плотности случайного процесса. Вследствие периодичности спектр мощности должен иметь линейчатую структуру с расстоянием между компонентами, равным частоте колебаний тела.

Используя обобщенную теорему Винера—Хинчина [4], для амплитуды n -й гармоники спектра мощности флуктуаций интенсивности излучения получим

$$b_n = \left(\frac{\omega}{2\pi} \right)^2 \int_0^{2\pi/\omega} \int_0^{2\pi/\omega} C_I(t_1, t_2) \exp [-i n \omega (t_1 + t_2)] dt_1 dt_2. \quad (3)$$

В зависимости от амплитуды колебаний, параметров освещения и наблюдения величина a , определяемая соотношением (2), может принимать значения $10—10^6$. При $a \gg 1$ (прак-

тически при $x > 10$) асимптотическое вычисление интеграла (3), где $C_I(t_1, t_2)$ определяется из (1), дает следующий результат:

$$\left| \frac{b_n}{b_1} \right| \approx \frac{\exp\left(-\frac{n^2}{8\alpha}\right) K_0\left(\frac{n^2}{8\alpha}\right)}{\ln\left(\frac{16\alpha}{\gamma}\right)}, \quad n \geq 1. \quad (4)$$

Здесь $K_0(x)$ — модифицированная функция Бесселя (называемая также функцией Макдональда) нулевого порядка, $\gamma=1.781$ — постоянная Эйлера.

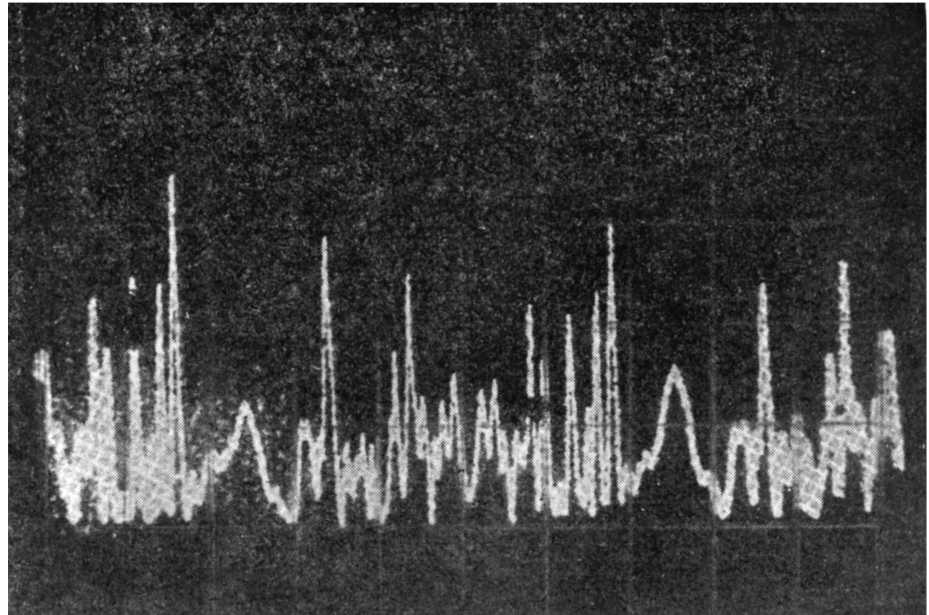


Рис. 1. Временная развертка интенсивности излучения, рассеянного колебательно движущейся поверхностью.

Скорость развертки 10 мс/дел.

При малых значениях аргумента $K_0(x) \approx \ln(2/\gamma x)$ [5], $\exp(-x) \approx 1$, с учетом последнего соотношение (4) можно переписать в следующем виде:

$$\left| \frac{b_n}{b_1} \right| \approx \frac{\ln\left(\frac{16\alpha}{\gamma n^2}\right)}{\ln\left(\frac{16\alpha}{\gamma}\right)} \text{ при } \frac{n^2}{8\alpha} \ll 1. \quad (5)$$

Из (5) легко определить номер гармоники n_0 , отвечающей условию $|b_n/b_1|=0.5$,

$$n_0 = 2 \sqrt[4]{\frac{\alpha}{\gamma}}. \quad (6)$$

Аргумент модифицированной функции Бесселя и экспоненты в (4) остаются при этом малой величиной $n_0^2/8\alpha = (2\sqrt{\alpha\gamma})^{-1} < 0.12$ при $\alpha > 10$, что подтверждает правомерность использованного приближения.

Величина n_0 может быть определена экспериментально. Из (2) с учетом (6) для амплитуды колебаний тела получим

$$h_0 = \frac{\gamma n_0^{\frac{1}{4}}}{16 \sqrt{\frac{1}{w^2} + \frac{4\pi^2 w^2}{\lambda^2} \left(\frac{1}{p} + \frac{1}{l}\right)^2}}. \quad (7)$$

Соотношения (3)–(5) описывают спектр мощности флуктуаций, усредненный по ансамблю реализаций. Усреднение по времени спектра не приводит, как известно [6], к детерминированной функции частоты. Получаемый при временном усреднении спектр случайного процесса обнаруживает значительные флуктуации амплитуд гармоник вокруг огибающей.

Экспериментально спектр мощности рассеянного излучения исследовался на $\lambda = 0.63$ мкм. Для освещения мы использовали одномодовый Не—Не лазер, излучение которого через линзу направлялось на стеклянную пластину, матированную с одной стороны; в качестве приемника излучения использовался кремниевый фотодиод. Усиленный электрический сигнал с фото-приемника поступал на вход многоканального анализатора спектра СК4-72, который позволял накапливать, многократно усреднять спектр шумоподобного сигнала в полосе до 20 кГц, а также представлять полученный результат в квадратичном масштабе.

В левой части рис. 2 показаны спектры мощности рассеянного излучения в полосе 1 кГц, усредненные по ансамблю из 24 независимых реализаций и полученные при параметрах освещения и наблюдения, отвечающих различным значениям α . Независимые реализации

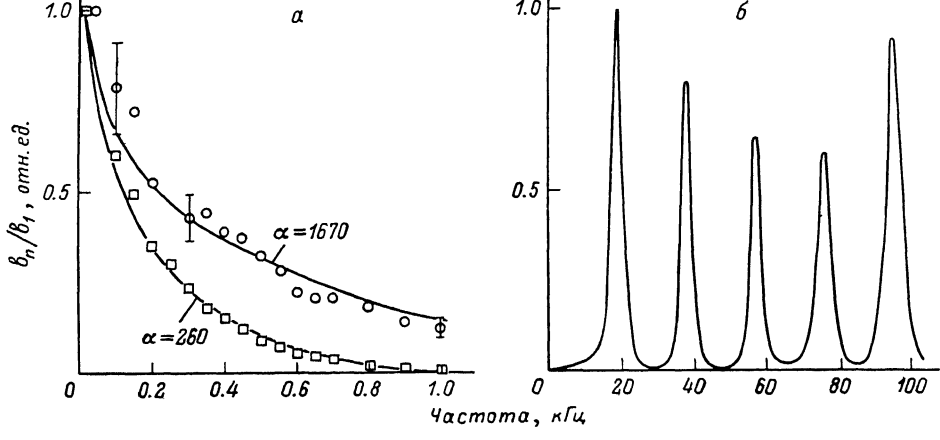


Рис. 2. Осциллограммы спектров мощности флуктуаций интенсивности рассеянного когерентного излучения.

a — спектральное разрешение 10 Гц, *б* — спектральное разрешение 1.0 Гц. Штриховая линия — огибающая спектра, построенная исходя из соотношения (4).

получали путем перемещения лазерного пятна по диффузной поверхности. Сплошными линиями показаны огибающие спектра, построенные на основе соотношения (4). Отметим не-плохое соответствие расчетной огибающей с экспериментально полученным спектром после проведения усреднения. В правой части рисунка показан фрагмент спектра в полосе 100 Гц, видна отчетливая линейчатая структура спектра.

По частотному расстоянию между компонентами спектра можно определить частоту колебаний тела, а по ширине спектра на уровне 0.5 — отвечающее этому уровню число гармоник n_0 , а вместе с ним из (7) амплитуду колебаний тела. Диапазон измеряемых значений амплитуд данным методом определяется условием справедливости соотношения (4) $\alpha > 10$. Варьируя параметры освещения и наблюдения, нетрудно достигнуть диапазона измеряемых амплитуд $h_0 > 20$.

Список литературы

- [1] Бакут П. А., Мандросов В. И., Матвеев И. Н., Устинов Н. Д. Теория когерентных изображений. М.: Радио и связь, 1987. 264 с.
- [2] Yoshimura T. // J. Opt. Soc. Amer. A. 1986. Vol. 3. N 7. P. 1032—1054.
- [3] Dainty J. C. // Progress in Optics. 1976. Vol. 14. P. 3—46.
- [4] Перина Я. Когерентность света. М.: Мир, 1974. С. 23.
- [5] Янке Е., Эмде Ф., Леш Ф. Специальные функции. М.: Наука, 1968. 248 с.
- [6] Куликов Е. И. Методы измерения случайных процессов. М.: Радио и связь, 1986. 272 с.

Поступило в Редакцию

20 июля 1989 г.

В окончательной редакции

17 мая 1990 г.